

JAERI-M  
7491

テトラフルオルエチレン-プロピレン  
共重合体のガラス転移温度の改良

1978年1月

岡本 次郎・伊藤 政幸

日本原子力研究所  
Japan Atomic Energy Research Institute

この報告書は、日本原子力研究所が JAERI-M レポートとして、不定期に刊行している研究報告書です。入手、複製などのお問い合わせは、日本原子力研究所技術情報部（茨城県那珂郡東海村）あて、お申しこしください。

JAERI-M reports, issued irregularly, describe the results of research works carried out in JAERI. Inquiries about the availability of reports and their reproduction should be addressed to Division of Technical Information, Japan Atomic Energy Research Institute, Tokai-mura, Naka-gun, Ibaraki-ken, Japan.

テトラフルオルエチレン-プロピレン  
共重合体のガラス転移温度の改良

日本原子力研究所高崎研究所開発試験場

岡本 次郎・伊藤 政幸

(1977年12月23日受理)

高分子のガラス転移温度はモノマー分子の化学構造、すなわち、主鎖のたわみやすさ、側鎖グループの立体障害とたわみやすさ、および高分子の対称性に起因する。

この報告は、テトラフルオルエチレン-プロピレン・共重合体のガラス転移温度を低下させる目的で、第三成分としてオレフィン系、ビニールエーテル系、アクリレート系、フッ化ビニル系モノマーを添加し三元共重合反応による研究を進めた。

その結果、ブテン-1, n-ブチルアクリレート添加の場合を除いて、得られた大部分の三元共重合体のTgは低下できたが、同時にTdも低下した。

ブテン-1の添加の場合、得られた三元共重合体のTgは-17°CでTdは355°Cであり、n-ブチルアクリレートの添加の場合は重合体中のn-ブチルアクリレートの組成にも依存するがTgは-31~-53°C, Tdは260°C~300°Cであった。

Improvement of Glass Transition Temperature of  
Tetrafluoroethylene and Propylene Copolymer

Jiro OKAMOTO and Masayuki ITO

Pilot Scale Research Station,  
Takasaki Radiation Chemistry Research Establishment,  
JAERI

(Received December 23, 1977)

The glass transition temperature( $T_g$ ) of polymers depends on chemical structure of the monomer unit; i.e. flexibility of chain, steric hindrance, bulkiness of side groups and its flexibility, and symmetry of polymer.

In the present study, an attempt was made to lower the glass transition temperature of tetrafluoroethylene and propylene copolymer by way of its terpolymerization with addition of a third monomer such as olefine, vinyl ether, acrylate or vinyl fluoride.

In most of the terpolymers obtained  $T_g$  is lowered but also the degradation temperature( $T_d$ ), except in the butene-1 and n-butylacrylate terpolymers.

$T_g$  and  $T_d$  of the terpolymer with butene-1 are -17°C and 355°C respectively. In the terpolymer with n-butylacrylate,  $T_g$  and  $T_d$  are -31°C~ -53°C and 260°C ~300°C respectively.

Keywords: Tetrafluoroethylene, Propylene, Glass Transition Temperature, Olefine, Vinyl Ether, Acrylate, Terpolymer, Degradation Temperature

## 目 次

1.はじめに	1
2.実験	1
2.1 重合	1
2.1.1 試薬	1
2.1.2 仕込み方法	1
2.1.3 照射方法	1
2.1.4 ポリマーの回収	2
2.1.5 極限粘度の測定	2
2.1.6 T <sub>g</sub> , T <sub>d</sub> の測定	2
3.結果と考察	2
3.1 鎮状オレフィン系モノマーとの三元共重合体	2
3.2 ビニールエーテル系モノマーとの三元共重合体	2
3.3 アクリレート系モノマーとの三元共重合体	3
3.4 含フッ素モノマーとの三元共重合体	3
3.5 その他のモノマーとの三元共重合体	3
4.ブテンー1, n-ブチルアクリレートを第三成分とする乳化重合反応	4
4.1 実験	4
4.2 結果と考察	4
5.総括	4
謝辞	5
引用文献	5

## CONTENTS

1. INTRODUCTION .....	1
2. EXPERIMENTAL .....	1
2.1 Polymerization .....	1
2.1.1 Chemicals .....	1
2.1.2 Sample preparation .....	1
2.1.3 Irradiation procedure .....	1
2.1.4 Separation of polymer .....	2
2.1.5 Measurement of intrinsic viscosity .....	2
2.1.6 Measurement of $T_g$ and $T_d$ .....	2
3 RESULTS AND DISCUSSION .....	2
3.1 Terpolymer with olefines .....	2
3.2 Terpolymer with vinyl ethers .....	2
3.3 Terpolymer with acrylates .....	3
3.4 Terpolymer with fluorine containing monomer .....	3
3.5 Terpolymer with other monomers .....	3
4. EMULSION TERPOLYMERIZATION OF BUTENE-1 AND n-BUTYL- ACRYLATES AS THIRD MONOMER .....	4
4.1 Experimental .....	4
4.2 Results and discussion .....	4
5. SUMMARY .....	4

## 1. はじめに

テトラフルオルエチレンとプロピレンとの放射線共重合反応でそれがほぼ等モル組成の共重合体がえられることを明らかにし<sup>1~6)</sup>、放射線<sup>7)</sup>、または有機過酸化物と多官能基を有する橋かけ助剤による橋かけによって、耐熱性、耐薬品性にすぐれた、エラストマーとなしうることを報告してきた<sup>8)</sup>。本共重合体の耐熱性は分子中に含まれるテトラフルオルエチレンの含有量と分子量とに依存し<sup>9)</sup>、従来耐熱性エラストマーとして知られている Du Pont 社で開発されたバイトン系\*に比べ種々の優れた性質を有している。しかし極めて交換性に富んでいるためかガラス転移温度がバイトン系に比べ高く用途の範囲がせばめられている事が明らかとなり第三成分の添加により、その欠点をおぎなうことが必致となった<sup>9)</sup>。

一般に  $T_g$  の値を決定する上に最も重要な要因は、高分子鎖のたわみやすさである。そのためには転移領域において分子の易動度をできるだけ大きくし、分子運動が充分に行いうるよう自由体積をもたらせることが必要である。このことから第三成分として挿入する分子が立体障害を起きぬ程度のたわみやすい側鎖をもち、対称性を有することが好ましいと考えられる。

本報ではガラス転移温度( $T_g$ )をさげることを目的とし<sup>(2)</sup>、この二成分モノマーに第三成分として、鎖状オレフィン系モノマー、種々の側鎖を有するビニールモノマー、および含ハロゲンビニールモノマー等を加えて三元共重合を行い生成物の形態、熱分解温度、ガラス転移温度について検討したので報告する。

## 2. 実験

### 2.1 重合

#### 2.1.1 試薬

テトラフルオルエチレンは旭硝子KK製のものをシリカゲル充填塔を通して重合禁止剤を除去して用いた。プロピレンは市販されている研究用高純度(99.7%)のものを用いた。その他第三成分モノマーは市販品をそのまま用いた。

#### 2.1.2 仕込み方法

それぞれのモノマーの所定仕込み量を耐圧ラインを用い、第三成分、プロピレン、テトラフルオルエチレンの順で行った<sup>1~6)</sup>。

#### 2.1.3 照射方法

ペンテン-1、エチルビニールエーテルの場合は0°C、その他の第三成分添加の場合は-23°Cに冷却しCo-60 $\gamma$ 線で照射した。この場合の線量率は $3.0 \times 10^5 R/h$ である。またパーフルオル

\* フッ化ビニリデンと六フッ化プロピレンとの重合体

## 1. はじめに

テトラフルオルエチレンとプロピレンとの放射線共重合反応でそれがほぼ等モル組成の共重合体がえられることを明らかにし<sup>1~6)</sup>、放射線<sup>7)</sup>、または有機過酸化物と多官能基を有する橋かけ助剤による橋かけによって、耐熱性、耐薬品性にすぐれた、エラストマーとなしうることを報告してきた<sup>8)</sup>。本共重合体の耐熱性は分子中に含まれるテトラフルオルエチレンの含有量と分子量とに依存し<sup>9)</sup>、従来耐熱性エラストマーとして知られている Du Pont 社で開発されたバイトン系\*に比べ種々の優れた性質を有している。しかし極めて交換性に富んでいるためガラス転移温度がバイトン系に比べ高く用途の範囲がせばめられている事が明らかとなり第三成分の添加により、その欠点をおぎなうことが必致となった<sup>9)</sup>。

一般に  $T_g$  の値を決定する上に最も重要な要因は、高分子鎖のたわみやすさである。そのためには転移領域において分子の易動度をできるだけ大きくし、分子運動が充分に行いうる自由体積をもたらせることが必要である。このことから第三成分として挿入する分子が立体障害を起きぬ程度のたわみやすい側鎖をもち、対称性を有することが好ましいと考えられる。

本報ではガラス転移温度( $T_g$ )をさけることを目的とし<sup>(2)</sup>、この二成分モノマーに第三成分として、鎖状オレフィン系モノマー、種々の側鎖を有するビニールモノマー、および含ハロゲンビニールモノマー等を加えて三元共重合を行い生成物の形態、熱分解温度、ガラス転移温度について検討したので報告する。

## 2. 実験

### 2.1 重合

#### 2.1.1 試薬

テトラフルオルエチレンは旭硝子KK製のものをシリカゲル充填塔を通して重合禁止剤を除去して用いた。プロピレンは市販されている研究用高純度(99.7%)のものを用いた。その他の第三成分モノマーは市販品をそのまま用いた。

#### 2.1.2 仕込み方法

それぞれのモノマーの所定仕込み量を耐圧ラインを用い、第三成分、プロピレン、テトラフルオルエチレンの順で行った<sup>1~6)</sup>。

#### 2.1.3 照射方法

ペンテナー-1、エチルビニールエーテルの場合は0°C、その他の第三成分添加の場合は-23°Cに冷却しCo-60γ線で照射した。この場合の線量率は $3.0 \times 10^5 R/h$ である。またパーカルオル

\* フッ化ビニリデンと六フッ化プロピレンとの重合体

アセトンについてはフロン（R-113）を溶媒とする溶液重合も試みた。

#### 2.1.4

照射終了後、直ちに残モノマーをページし、器壁に付着したポリマーをテトラハイドロフラン（THF）で溶かし出し、ビーカーにとり熱風乾燥した。

#### 2.1.5 極限粘度の測定

テトラヒドロフランを溶媒とし30°Cでウベローデ粘度計を用い極限粘度を測定した。

#### 2.1.6 T<sub>g</sub>, T<sub>d</sub> の測定

得られた三元共重合体のT<sub>g</sub>, T<sub>d</sub>の測定をパーキンエルマー製DSC-IBで行った。昇温速度はT<sub>g</sub>測定の場合は室温から5°C/min, で行った。なお測定は試料室に窒素を流して行った。

### 3. 結果と考察

#### 3.1 鎮状オレフィン系モノマーとの三元共重合体

鎮状オレフィンとしてエチレン、ブテン-1、イソブチレン、ペンテン-1,4・メチルペンテン-1、ヘキサジエン-1,5・オクタジエン-1,7等をある組成で添加し塊状重合によって得られた生成物のT<sub>g</sub>および外観についての結果を表1に示す。

この表から明らかのようにブテン-1以外の第3成分添加の場合は重合速度が小さく、プラスチック、あるいはグリース状の共重合体が得られ、測定した範囲ではT<sub>g</sub>の改良にはつながらず逆に悪くなっている。

ブテン-1、添加の場合はいずれのモノマー組成においても透明エラストマーが得られ、T<sub>g</sub>はモノマー組成によって変化するがブテン-1の増加とともに低くなる傾向を示す。ブテン-1はテトラフルオルエチレンとの交互共重合性が良く、反応操作も二成分系と同一方法をとることができ他の物性も二成分系と非常に類似し、加工性、架橋性も極めて良好である。しかし重合速度が2成分系に比べ低く $\frac{1}{5}$ ～ $\frac{1}{10}$ 以下に低下することが欠点である。

#### 3.2 ビニールエーテル系モノマーとの三元共重合体

ビニールエーテルとしてメチルビニールエーテル、エチルビニールエーテル、n-ブチルビニールエーテル、i-ブチルビニールエーテルの四種類について検討し、その結果を表2に示した。

いずれの場合もゴム状弾性を有する共重合体を得ることができ、T<sub>g</sub>についてもテトラフルオルエチレン-プロピレン共重合体に比べ若干低めである。特にn-ブチルビニールエーテルの場合、仕込みモノマー組成に依存するが-14～-16°Cとかなりの改良は可能である。しかし分解温度が極端に悪くなるのが欠点である。オレフィン系三元共重合体の場合ブテン-1のように適当な大きさの側鎖を導入することでT<sub>g</sub>は大きな変化を示すことが明らかとなつたが、ビニールエーテルのT<sub>g</sub>とT<sub>d</sub>の変化とアルキル炭素数との関係を図示すると図1のようになる。n-ブチルビニールエーテルの重合体におけるモノマー組成とT<sub>g</sub>あるいはT<sub>d</sub>の変化は図2のようになる。T<sub>g</sub>, T<sub>d</sub>ともn-

アセトンについてはフロン( R - 113 )を溶媒とする溶液重合も試みた。

#### 2.1.4

照射終了後、直ちに残モノマーをページし、器壁に付着したポリマーをテトラハイドロフラン( THF )で溶かし出し、ビーカーにとり熱風乾燥した。

#### 2.1.5 極限粘度の測定

テトラヒドロフランを溶媒とし 30 °C でウベロー・デ粘度計を用い極限粘度を測定した。

#### 2.1.6 Tg, Td の測定

得られた三元共重合体の Tg, Td の測定をパーキンエルマー製 DSC - IB で行った。昇温速度は Tg 測定の場合は室温から 5 °C/min, で行った。なお測定は試料室に窒素を流して行った。

### 3. 結果と考察

#### 3.1 鎖状オレフィン系モノマーとの三元共重合体

鎖状オレフィンとしてエチレン、ブテン-1、イソブチレン、ペンテン-1, 4・メチルペンテン-1、ヘキサジエン-1, 5・オクタジエン-1, 7、等をある組成で添加し塊状重合によって得られた生成物の Tg および外観についての結果を表 1 に示す。

この表から明らかのようにブテン-1以外の第 3 成分添加の場合は重合速度が小さく、プラスチック、あるいはグリース状の共重合体が得られ、測定した範囲では Tg の改良にはつながらず逆に悪くなっている。

ブテン-1、添加の場合はいずれのモノマー組成においても透明エラストマーが得られ、Tg はモノマー組成によって変化するがブテン-1 の増加とともに低くなる傾向を示す。ブテン-1 はテトラフルオルエチレンとの交互共重合性が良く、反応操作も二成分系と同一方法をとることができ他の物性も二成分系と非常に類似し、加工性、架橋性も極めて良好である。しかし重合速度が 2 成分系に比べ低く  $\frac{1}{5} \sim \frac{1}{10}$  以下に低下することが欠点である。

#### 3.2 ビニールエーテル系モノマーとの三元共重合体

ビニールエーテルとしてメチルビニールエーテル、エチルビニールエーテル、n-ブチルビニールエーテル、i-ブチルビニールエーテルの四種類について検討し、その結果を表 2 に示した。

いずれの場合もゴム状弾性を有する共重合体を得ることができ、Tg についてもテトラフルオルエチレン-プロピレン共重合体に比べ若干低めである。特に n-ブチルビニールエーテルの場合、仕込みモノマー組成に依存するが -14 ~ -16 °C とかなりの改良は可能である。しかし分解温度が極端に悪くなるのが欠点である。オレフィン系三元共重合体の場合ブテン-1 のように適当な大きさの側鎖を導入することで Tg は大きな変化を示すことが明らかとなつたが、ビニールエーテルの Tg と Td の変化とアルキル炭素数との関係を図示すると図 1 のようになる。n-ブチルビニールエーテルの重合体におけるモノマー組成と Tg あるいは Td の変化は図 2 のように Tg, Td とも n-

ブチルビニールエーテルの添加量が増すにつれ低下する。このように側鎖が転移領域においてかなりの易動度を有すると思われる分子を導入し  $T_g$  の改良を行うことができるが、第三成分として導入した分子の耐熱性がないために  $T_g$  の極端な悪化が認められる結果となった。

### 3.3 アクリレート系モノマーとの三元共重合体

メチルアクリレート、エチレアクリレート、n-ブチルアクリレート、トリフルオルエチルアクリレート、ペンタフリオルプロピルアクリレート、ペンタフルオルブチルアクリレートを第三成分として用いた。 $T_g$ 、 $T_d$ 、外観等の結果を第3表に示す。

アクリレート系の添加により  $T_g$  はかなり低下し、殆んどが弾性を有する共重合体を与える。特に n-ブチルアクリレートでは  $-30^{\circ}\text{C} \sim -53^{\circ}\text{C}$  と極めて低い  $T_g$  を示した。アクリレートのエステル部分の炭素数と  $T_g$  との関係を図3に示す。この図から明らかのように  $T_g$  はエステル部分の炭素数の増大に伴って極端に低下するが  $T_d$  の方は炭素数が4の n-ブチルアクリレートの場合  $260^{\circ}\text{C}$  とオレフィン系、エーテル系に比べればその低下は小さく有望である。

アクリレート系モノマー仕込みの組成による  $T_g$  の変化を図4に示す。またこのときの  $T_d$  を図5に示した。

図4、図5の結果から第3成分の添加量に伴って  $T_g$ 、 $T_d$  とも低下する。これは第3成分の単独重合体自身の  $T_g$  が低く、三元共重合体中の第三成分の含有量が仕込みモノマー組成に依存するため得られた三元共重合体の  $T_g$  も低くなると考えられる。三元共重合体中の n-ブチルアクリレート含有量と  $T_g$  および  $T_d$  との関係と図6に示した。明らかに高分子主鎖に  $\text{C} \begin{array}{c} \diagup \\ \diagdown \end{array} \text{O} \text{OC}_4\text{H}_9$  のような大きな側鎖が導入されたわみやすさが加えられ  $T_g$  が低下するものと考えられ、しかも n-ブチルアクリレートの場合は立体障害が起きるほどの大きさの側鎖とはなりえないとみることができる。

### 3.4 含フッ素モノマーとの三元共重合体

一般に含フッ素高分子は熱安定性が良い、その特徴を活用し、側鎖に適当な大きさのグループをもつ含フッ素モノマーすなわちフッ化ビニリデン、クロロトリフルオルエチレン、六フッ化プロピレン、ペンタフルオルブデン-1、ナノフルオルヘキセン-1、パーフルオルアセトンを第三成分として検討した。クロロトリフルオルエチレン以外は  $T_g$  は  $0^{\circ}\text{C}$  以下であるが、改良という点からは望みがうすく、パーフルオルアセトンの添加だけに若干の効果があった。表4にそれらの結果をまとめて示した。

### 3.5 その他のモノマーとの三元共重合体

アリルアルコール、アリルクロライド、アクリルアマイド等について検討したが重合がおそいか全く重合せず物性測定に至らなかった。結果を表5に示す。

#### 4. ブテンー1, n-ブチルアクリレートを 第三成分とする乳化重合反応

今までに記した重合体は全て塊状重合、溶液重合で得られたもので、分子量、重合速度等の面から問題がある。ここでは探索の結果有望とみられたブテンー1, n-ブチルアクリルレートを第三成分とする三元乳化共重合反応の検討と得られた三元共重合体の性質について述べる。

##### 4.1 実験<sup>3~6)</sup>

ブテンー1の場合はバッチ法を採用し、n-ブチルアクリレートの場合はバッチ法、セミフロー（追加仕込み）法を採用した。その実験装置を図7に示す。反応器は200 ml又は1 lオートクレーブを用いた。乳化剤はFC-143を0.5%，緩衝剤としてリン酸ナトリウム( $\text{Na}_2\text{HPO}_4 \cdot 12\text{H}_2\text{O}$ )2.7%を水に対し添加した。また重合反応は線量率 $1 \times 10^5, 1.5 \times 10^5, 8 \times 10^5 \text{ rad/h}$ で行った。

##### 4.2 結果と考察

ブテンー1とn-ブチルアクリレートの実験条件と結果を表6に示す。三元乳化共重合の場合はラテックス粒子中のそれぞれのモノマー組成を所定濃度に保つことは極めて困難であり塊状重合の場合ほどのTgの改良には至らなかった。これまでに得られたブテンー1、あるいはn-ブチルアクリレートを第3成分とするテトラフルオルエチレン-プロピレン・三元共重合体の物性値および外観から推定される特記すべき点と問題点を表7にまとめた。ブテンー1の場合は重合速度は二成分系の場合の $\frac{1}{5} \sim \frac{1}{10}$ 程度になるがその他の共重合性、反応操作性は殆んど二成分系の場合と変りなく、 $T_g = -20^\circ\text{C}$ ,  $T_d = 350^\circ\text{C}$ と極めて優れた性質の共重合体を得ることができる。

一方n-ブチルアクリレートの場合は重合速度は二成分系と同程度であるがn-ブチルアクリレートの反応性が極めて大きく（連鎖移動）、n-ブチルアクリレートの連続仕込という操作性の点で問題がある。物性面では二成分系と若干異り  $T_g = -30^\circ\text{C}$ ,  $T_d = 300^\circ\text{C}$ と問題ないが溶剤に対する挙動が二成分系の場合と逆の傾向を示す（表7参照）。また分子量が低いためか粘着性が強く、架橋性にも問題を残している。

#### 5. 総括

テトラフルオルエチレン-プロピレン・共重合体は極めて優れた耐熱性( $T_d = 360^\circ\text{C}$ )を示し、耐薬品性の上で市販品フッ素ゴム（パイトン）と相補性がある。また、放射線あるいは化学加硫剤で橋かけし強度をもたせることにより優れた耐熱性ゴムとして有望である。しかし耐寒

#### 4. ブテン-1, n-ブチルアクリレートを 第三成分とする乳化重合反応

今までに記した重合体は全て塊状重合、溶液重合で得られたもので、分子量、重合速度等の面から問題がある。ここでは探索の結果有望とみられたブテン-1, n-ブチルアクリルレートを第三成分とする三元乳化共重合反応の検討と得られた三元共重合体の性質について述べる。

##### 4.1 実験<sup>3~6)</sup>

ブテン-1の場合はバッチ法を採用し、n-ブチルアクリレートの場合はバッチ法、セミフロー（追加仕込み）法を採用した。その実験装置を図7に示す。反応器は200ml又は1lオートクレーブを用いた。乳化剤はFC-143を0.5%，緩衝剤としてリン酸ナトリウム( $\text{Na}_2\text{HPO}_4 \cdot 12\text{H}_2\text{O}$ )2.7%を水に対し添加した。また重合反応は線量率 $1 \times 10^5, 1.5 \times 10^5, 8 \times 10^5 \text{ rad/h}$ で行った。

##### 4.2 結果と考察

ブテン-1とn-ブチルアクリレートの実験条件と結果を表6に示す。三元乳化共重合の場合はラテックス粒子中のそれぞれのモノマー組成を所定濃度に保つことは極めて困難であり塊状重合の場合ほどのTgの改良には至らなかった。これまでに得られたブテン-1、あるいはn-ブチルアクリレートを第3成分とするテトラフルオルエチレン-プロピレン・三元共重合体の物性値および外観から推定される特記すべき点と問題点を表7にまとめた。ブテン-1の場合は重合速度は二成分系の場合の $\frac{1}{5} \sim \frac{1}{10}$ 程度になるがその他の共重合性、反応操作性は殆んど二成分系の場合と変りなく、 $T_g = -20^\circ\text{C}$ ,  $T_d = 350^\circ\text{C}$ と極めて優れた性質の共重合体を得ることができる。

一方n-ブチルアクリレートの場合は重合速度は二成分系と同程度であるがn-ブチルアクリレートの反応性が極めて大きく（連鎖移動）、n-ブチルアクリレートの連続仕込という操作性の点で問題がある。物性面では二成分系と若干異り  $T_g = -30^\circ\text{C}$ ,  $T_d = 300^\circ\text{C}$ と問題ないが溶剤に対する挙動が二成分系の場合と逆の傾向を示す（表7参照）。また分子量が低いためか粘着性が強く、架橋性にも問題を残している。

#### 5. 総括

テトラフルオルエチレン-プロピレン・共重合体は極めて優れた耐熱性( $T_d = 360^\circ\text{C}$ )を示し、耐薬品性の上で市販品フッ素ゴム（バイトン）と相補性がある。また、放射線あるいは化学加硫剤で橋かけし強度をもたせることにより優れた耐熱性ゴムとして有望である。しかし耐寒

性の要求される用途も考えられるため、ガラス転移温度 ( $T_g$ ) を下げるための種々の第 3 成分を添加し三元共重合体を合成した。それらの共重合体の  $T_g$ 、熱分解温度 ( $T_d$ ) とから評価した結果、第 3 成分としてブテン-1 と n-ブチルアクリレートが有望であることを見い出した。これらの三元共重合体の合成方法、物性等には若干の問題が残っているため今後の詳細な検討が必要であろう。

### 謝 辞

本研究を行うにあたって、モノマーを提供していただいた、旭硝子株式会社、討論、測定等に御援助をしていただいた同社研究所の方に、および報告作成にあたって御指導いただいた第二開発室長町末男氏に感謝致します。

### 引 用 文 献

- 1) G. Kojima and Y. Tabata G. Macromol. Sci. Chem., A-6, 417 (1972)
- 2) G. Kojima and Y. Tabata ibid., A-7, 783 (1973)
- 3) O. Matsuda, J. Okamoto, N. Suzuki, M. Ito and Y. Tabata ibid., A-8  
775 (1974)
- 4) N. Suzuki, O. Matsuda and J. Okamoto. ibid., A-8 793 (1974)
- 5) 松田, 伊藤, 鈴木, 岡野, 団野, 田畠, JAERI-M 5071 (1973年2月)
- 6) 松田, 鈴木, 伊藤, 岡本, JAEIR-M 5501 (1974年1月)
- 7) G. Kojima and Y. Tabata, G. Macromol. Sci. Chem., A-5 1087 (1971)
- 8) 岡本, 松田, 伊藤, 鈴木, JAERI-M 5422 (1973年10月)
- 9) 岡本, 伊藤, 松田, 鈴木, 岡野, JAERI-M 5476 (1974年1月)
- 10) L. E. Nielsen 著 小野木訳 高分子の力学的性質

性の要求される用途も考えられるため、ガラス転移温度 ( $T_g$ ) を下げるための種々の第3成分を添加し三元共重合体を合成した。それらの共重合体の  $T_g$ 、熱分解温度 ( $T_d$ ) とから評価した結果、第3成分としてブテン-1とn-ブチルアクリレートが有望であることを見い出した。これらの三元共重合体の合成方法、物性等には若干の問題が残っているため今後の詳細な検討が必要であろう。

### 謝 辞

本研究を行うにあたって、モノマーを提供していただいた、旭硝子株式会社、討論、測定等に御援助をしていただいた同社研究所の方に、および報告作成にあたって御指導いただいた第二開発室長町末男氏に感謝致します。

### 引 用 文 献

- 1) G. Kojima and Y. Tabata G. Macromol. Sci. Chem., A-6, 417 (1972)
- 2) G. Kojima and Y. Tabata ibid., A-7, 783 (1973)
- 3) O. Matsuda, J. Okamoto, N. Suzuki, M. Ito and Y. Tabata ibid., A-8 775 (1974)
- 4) N. Suzuki, O. Matsuda and J. Okamoto. ibid., A-8 793 (1974)
- 5) 松田, 伊藤, 鈴木, 岡野, 団野, 田畠, JAERI-M 5071 (1973年2月)
- 6) 松田, 鈴木, 伊藤, 岡本, JAERI-M 5501 (1974年1月)
- 7) G. Kojima and Y. Tabata, G. Macromol. Sci. Chem., A-5 1087 (1971)
- 8) 岡本, 松田, 伊藤, 鈴木, JAERI-M 5422 (1973年10月)
- 9) 岡本, 伊藤, 松田, 鈴木, 岡野, JAERI-M 5476 (1974年1月)
- 10) L. E. Nielsen 著 小野木訳 高分子の力学的性質

性の要求される用途も考えられるため、ガラス転移温度 ( $T_g$ ) を下げるための種々の第 3 成分を添加し三元共重合体を合成した。それらの共重合体の  $T_g$ 、熱分解温度 ( $T_d$ ) とから評価した結果、第 3 成分としてブテン-1 と n-ブチルアクリレートが有望であることを見い出した。これらの三元共重合体の合成方法、物性等には若干の問題が残っているため今後の詳細な検討が必要であろう。

### 謝 辞

本研究を行うにあたって、モノマーを提供していただいた、旭硝子株式会社、討論、測定等に御援助をしていただいた同社研究所の方に、および報告作成にあたって御指導いただいた第二開発室長町末男氏に感謝致します。

### 引 用 文 献

- 1) G. Kojima and Y. Tabata G. Macromol. Sci. Chem., A-6, 417 (1972)
- 2) G. Kojima and Y. Tabata ibid., A-7, 783 (1973)
- 3) O. Matsuda, J. Okamoto, N. Suzuki, M. Ito and Y. Tabata ibid., A-8  
775 (1974)
- 4) N. Suzuki, O. Matsuda and J. Okamoto. ibid., A-8 793 (1974)
- 5) 松田, 伊藤, 鈴木, 岡野, 団野, 田畠, JAERI-M 5071 (1973年2月)
- 6) 松田, 鈴木, 伊藤, 岡本, JAERI-M 5501 (1974年1月)
- 7) G. Kojima and Y. Tabata, G. Macromol. Sci. Chem., A-5 1087 (1971)
- 8) 岡本, 松田, 伊藤, 鈴木, JAERI-M 5422 (1973年10月)
- 9) 岡本, 伊藤, 松田, 鈴木, 岡野, JAERI-M 5476 (1974年1月)
- 10) L. E. Nielsen 著 小野木訳 高分子の力学的性質

表 1 オレフィン系三元共重合体の性質

第 三 成 分 (X)	モノマー一組成		重合速度 (wt% / h)	[η] (dl/g)	Tg (°C)	Td (°C)	形 態	X, 単独重合体の Tg (°C)
	C <sub>2</sub> F <sub>4</sub>	C <sub>3</sub> H <sub>6</sub>						
エチレン	67	23	1.0	—	+7	—	硬いゴム状	-120
	33	33	3.3	—	+17	—	ガラス状	"
ブテン	—	1	67.5	22.5	1.0	0.3	透明エラストマー	-25
"	75.0	12.5	12.5	0.2	—	-1.5	透明エラストマー・粘着性	"
"	50	0	50	0.06	—	-17	透明エラストマー	"
イソブチレン	67.5	22.5	1.0	0.3	—	—	結晶性白色粉末	-70,-60
ペタメチルベンゼン	1	60	30	1.0	≈0	—	グリース状	-40,-24
4-キサジエン	—	1	67.5	22.5	1.0	≈0	硬いゴム状	18, 29
オクタジエン	1.5	67.5	22.5	1.0	0.3	—	透明プラスチック	—
オクタジエン	1	—	—	≈0	—	—	—	-65
オクタジエン	1.7	6.5	22.5	1.0	0.2	—	乳白色プラスチック	—

表 2 ビニールエーテル系三元共重合体の性質

第 三 成 分 (X)	モノマー一組成			重合速度 (wt%/h)	[η] (dl/g)	Tg (°C)	Td (°C)	溶解性	形態	X, 単独重合体の <sup>1a</sup> Tg (°C)
	C <sub>2</sub> F <sub>4</sub>	C <sub>3</sub> H <sub>6</sub>	X							
メチルビニールエーテル	33	33	33	—	—	-10	—	—	—	—
エチルビニールエーテル	60	30	10	0.6	0.25	-10	339	THF 易溶	柔軟ゴム状弹性体	-20, -10
n-ブチルビニールエーテル	60	30	10	2.2	0.53	-16	165	"	ゴム状弹性体	-52
(35 59 6)*	(35 59 6)*	5	—	—	—	-14	—	"	ゴム状弹性体	"
"	71	24	5	—	—	—	—	"	ゴム状弹性体	"
"	46	46	8	—	—	-14	270	"	ゴム状弹性体	"
j-ブチルビニールエーテル	60	30	10	2.3	0.4	-10	327	"	白色ゴム状弹性体	-5, -18
	(29 65 6)									

\* は 三元共重合体組成

表 3 アクリレート系三元共重合体の性質

第 二 三 成 分 (X)	モノマー $C_2H_4$	$C_3H_6$	X	組成 (wt%/ $\text{h}$ )	重合速度 (wt%/ $\text{h}$ )	[ $\eta$ ] (dl/g)	Tg (°C)	Td (°C)	溶解性	形態	X, 单独重合体の $T_g$ (°C)
											状態
メチルアクリレート	60	30	10	1.8	—	+7	—	—	ガラス状	+3	
	(3 81 16)*										
メチルアクリレート	60	30	10	2.1	—	-23	—	—	ゴム状弹性体	-22	
	(1 84 14)*										
n-ブチルアクリレート	71	24	5	—	—	-9	—	—	ゴム状弹性体	-56	
	60	30	10	1.6	—	-5.3	—	THF可溶	透明粘着性グリース	"	
	(2 90 8)*										
"	74.3	24.7	1	0.7	—	-3.1	310	THF可溶	透明粘着性グリース	"	
	(36.8 48.9 14.3)										
"	71	24	5	0.7	—	-4.5	260	THF可溶	透明アメ状	"	
トリフルオルエチルアクリレート	71	24	5	0.9	—	-10	270	THF可溶	透明エラストマー	-10	
"	50	0	50	27	—	—	270	THF可溶	透明エラストマー	-26	
ベンタフルオルプロピルアクリレート	71	24	5	0.8	—	-21	225	THF可溶	透明エラストマー	"	
"	74	25	1	0.2	—	-17	290	THF可溶	透明エラストマー	-26	
"	50	0	50	23	—	—	280	THF可溶	透明エラストマー	"	
ベンタフルオルブチルアクリレート	71	24	5	0.5	—	-20	250	THF可溶	透明エラストマー	"	
	(31.6 34.1 34.3)*										
"	47	47	6	—	—	-18	—	THF可溶	ゴム状弹性体	"	
"	46	46	9	—	—	-20	270	THF可溶	ゴム状弹性体	"	
"	67	23	10	2.3	—	-26	—	THF可溶	ゴム状弹性体	"	

\* ( )内は三元共重合体組成

表 4 合成フッ素系三元共重合体の性質

第 三 成 分 (X)	モノマー一組成			重合速度 (wt% / h)	[η] (dl/g)	Tg (°C)	Td (°C)	溶解性	形 態	X, 单独重合体 <sup>10</sup> Tg (°C)
	C <sub>2</sub> F <sub>4</sub>	C <sub>3</sub> H <sub>6</sub>	X							
フッ化ビニリデン	4.5	4.5	9	—	—	—5	—	THF可溶	ゴム状	-35
	4.8	2.4	27	—	—	-3	—	—	—	"
	3.8	1.9	4.2	—	—	-3	—	—	—	"
	6.0	2.0	20	0.5	—	-2	—	—	—	"
クロロトリフルオルエチレン	4.0	3.0	30	—	—	+29	—	不溶	ガラス状	45
六フッ化プロピレン	6.75	2.25	1.0	—	—	-4	35.5	THF可溶	ゴム状	11
	(4.3)	5.4	4 <sup>a</sup> )	—	—	—5	—	—	—	—
	2.5	2.5	50	—	—	—	—	THF可溶	クリスチル状	—
ベンタフルオルブテン-1	6.75	2.25	1.0	—	—	—	—	THF可溶	クリスチルゴム	—
ナノフルオルヘキセシン-1	—	—	—	—	—	—6	—	THF可溶	—	—
ヘキサフルオルアセトン	6.7	2.3	10	0.1	—	-13	34.0	THF可溶	ゴム状粘着性	—

\*( )内は三元共重合体組成

表 5 その他のモノマーリー三元共重合体の性質

第 三 成 分 (X)	モノマー一組成			重合速度 (wt% / h)	[η] (dl/g)	Tg (°C)	Td (°C)	溶解性	形 態	X, 单独重合体 <sup>10</sup> Tg (°C)
	C <sub>2</sub> F <sub>4</sub>	C <sub>3</sub> H <sub>6</sub>	X							
アリルアルコール	—	—	—	—	≈0	—	—	—	—	—
アリルクロラライド	—	—	—	—	≈0	—	—	—	—	—
アクリルアミド	—	—	—	—	2.3	-2	—	—	半透明	—

表 6  $C_2F_4 - C_3H_6 - N - CH_2 = CHCOOC_4H_9$   
乳化三元共重合反応

実験番号		TEM-3	TEM-4	TEM-7	TEM-8	TEM-9*
反応器		200 mL	200 mL	1 L	1 L	200 mL
初期仕込	水 (g)	100	100	600	800	100
	$C_2F_4$ (g)	15.3 2.1	15.3 2.1	64	64	17.0 1.2
	$C_3H_6$ (g)	2.1	2.1	8.8	8.8	1.2
	$n - CH_2 = CHCOOC_4H_9$ (g)	0.26	2.9	33.4	3.4	1.6
	モノマーモル比 ( $C_2F_4 / C_3H_6 / X$ )	74/25/1	67.5/22.5/10	57/19/23	73/24/3	75/125/12.5
反応時間	線量率 ( $R/h$ )	$8 \times 10^5$	$8 \times 10^5$	$1.5 \times 10^5$	$8 \times 10^5$	$1 \times 10^5$
	時間 (hrs)	5.0	1.0	14.5	4.4	10
結果	ポリマー収量 (g)	20.2	5.4	19.5	13.3	1.7
	ポリマー生成速度 (g/l·h)	40.5 1.6	54	22.4	37.6	1.7
	ラテックス濃度 (wt%)	1.6	5.0	23.6	14.0	1.4
	ラテックス選択性 (%)	94	97	95	98	82
	[7] (dl/g)	0.60	1.18	0.93	0.48	0.11
	Mn	—	7.1	8.5	6.5	—
	Tg (°C)	-1		-1	-10	-19
	Td (°C)	370	300	268	282	314
ポリマー組成		49/49/2	31/31/39	45/45/10	46/46/8	—
追加仕込み組成 ( $C_2F_4 / C_3H_6 / X$ )		44/56/0.01	—	50/50/0	47/47/5	—

\* 第三成分として  $CH_2 = CH - CH_2 - CH_3$  を添加した。

表 7 プテン-1, n-ブチルアクリレートとの  
三元共重合体の性質の比較

	プ テン - 1	n-ブチルアクリレート
重合速度	2成分系の $\frac{1}{5}$ ~ $\frac{1}{10}$ 程度	2成分系と同程度
共重合性	$C_2^2F_4$ との交互性良い	n-ブチルアクリレートの反応性大
反応操作	2成分系と同一	n-ブチルアクリレートの仕込に問題
物 性	2成分系に類似 $T_g = -15 \sim -20^\circ C$ , $T_d = 350^\circ C$ 極性溶媒に強く非極性溶媒に弱い	2成分系と相当異なる $T_g = -30 \sim -20^\circ C$ , $T_d = 300^\circ C$ 非極性溶媒に対する抵抗は増加極性溶媒 に対する抵抗は減少
加工性	2成分系に類似	粘着性あり
架 橋 性	2成分系と同じ	若干, 問題あり

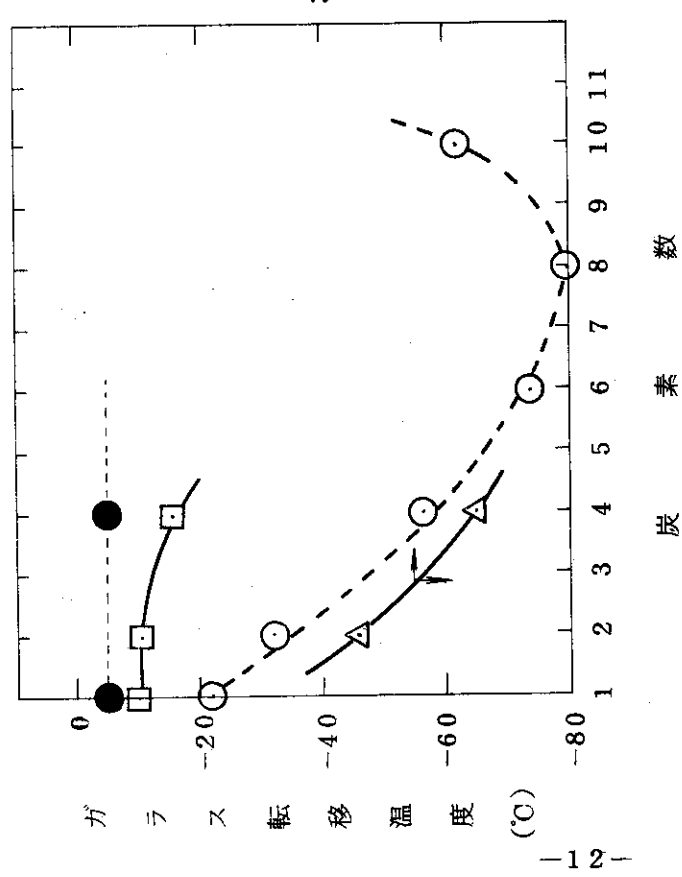


図 1 ビニールエーテルのアルキル基の炭素数と共に重合体のガラス転移温度と熱分解温度

$\square$   $\text{CH}_2=\text{CHO}(\text{CH}_2)_n\text{H}-\text{C}_2\text{F}_4-\text{C}_3\text{H}_6$  Terpolymer<sup>10)</sup>  
 $\circ$   $\text{CH}_2=\text{CHO}(\text{CH}_2)_n\text{H}$  Homopolymer<sup>10)</sup>  
 $\bullet$   $\text{CF}_2=\text{CFO}(\text{CF}_2)_n\text{F}$   
 $\triangle$   $\text{CH}_2=\text{CHO}(\text{CH}_2)_n\text{H}-\text{C}_2\text{F}_4-\text{C}_3\text{H}_6$  Terpolymer<sup>"</sup>

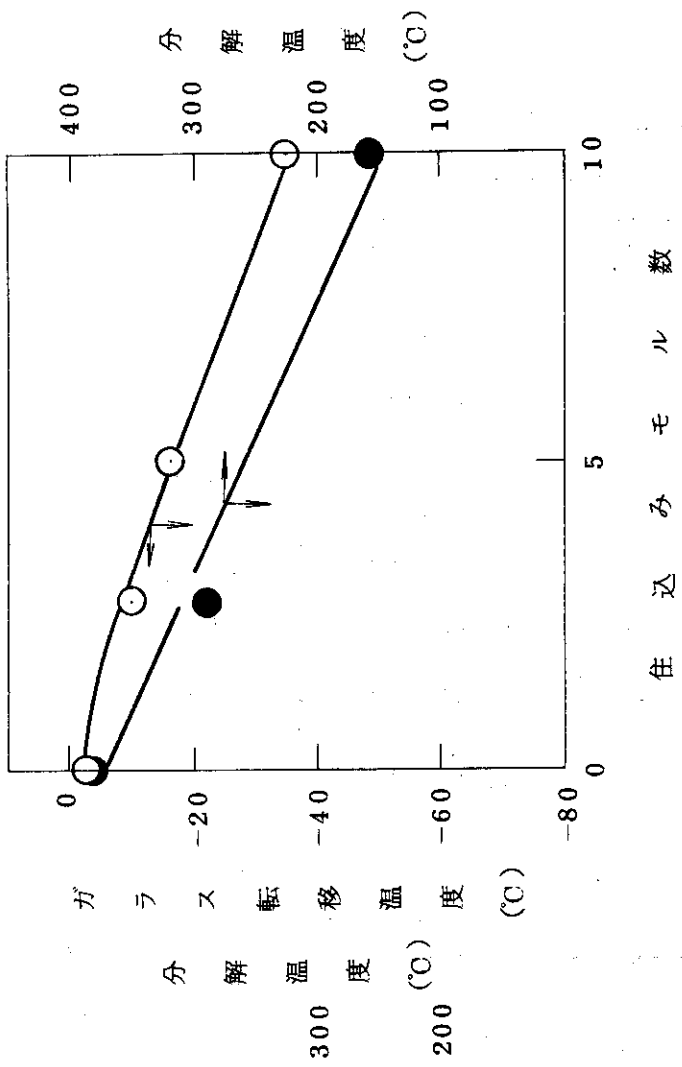


図 2 n-ブチルビニールエーテル仕込みモル数とガラス転移温度熱，分解温度との関係

$\circ$  ガラス転移温度  
 $\bullet$  热分解温度

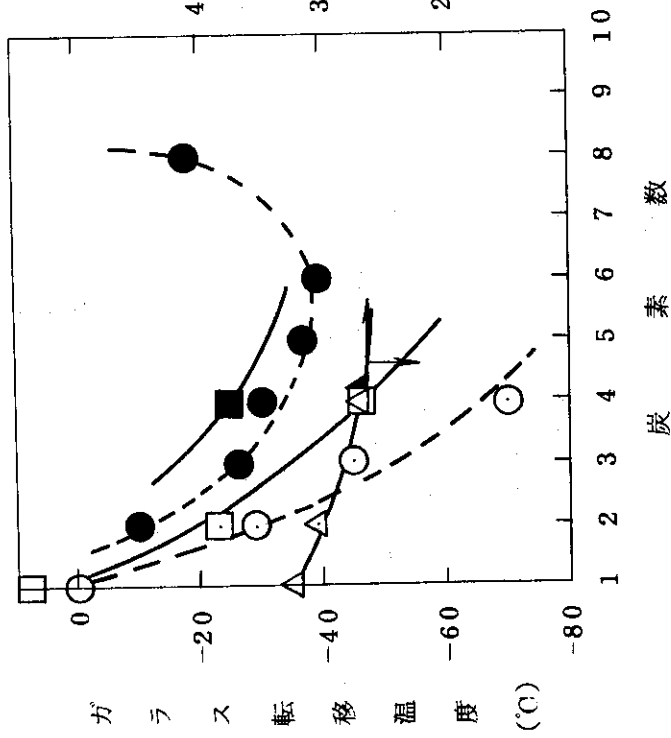


図3 アクリレートのエステル部分の炭素数と共重合体のガラス転移温度、熱分解温度との関係

- $\text{CH}_2=\text{CHCOO}(\text{CH}_2)_n\text{H}-\text{C}_2\text{F}_4-\text{C}_3\text{H}_6$  Terpolymer
- $\text{CH}_2=\text{CHCOO}(\text{CH}_2)_2(\text{CF}_2)_n-\text{F}-\text{C}_2\text{F}_4-\text{C}_3\text{H}_6$  " Homopolymer<sup>10)</sup>
- $\text{CH}_2=\text{CHCOO}(\text{CH}_2)_n\text{H}$
- $\text{CH}_2=\text{CHCOOCH}_2(\text{CF}_2)_n-\text{F}$  "
- △-  $\text{CH}_2=\text{CHCOO}(\text{CH}_2)_n\text{H}-\text{C}_2\text{F}_4-\text{C}_3\text{H}_6$  Terpolymer

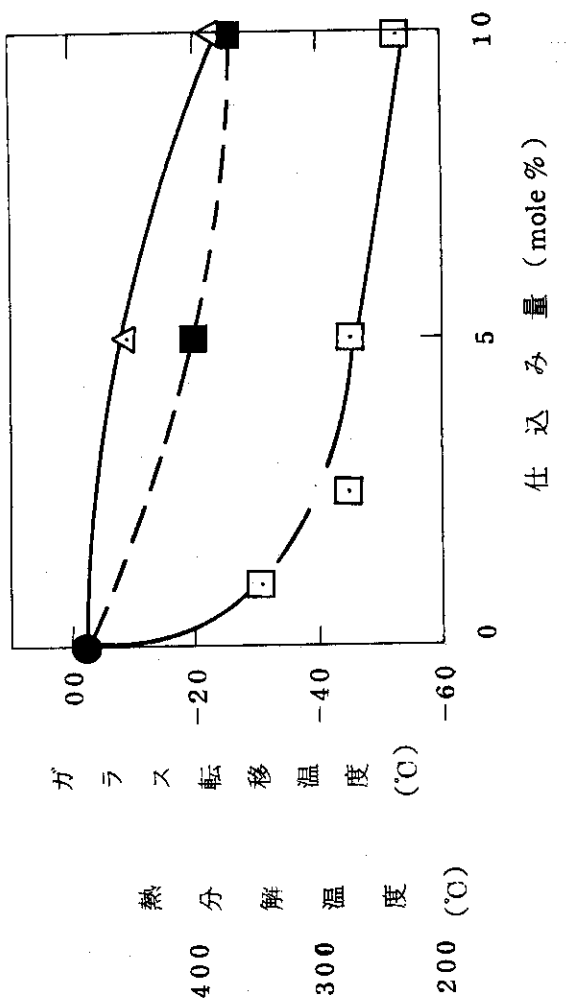
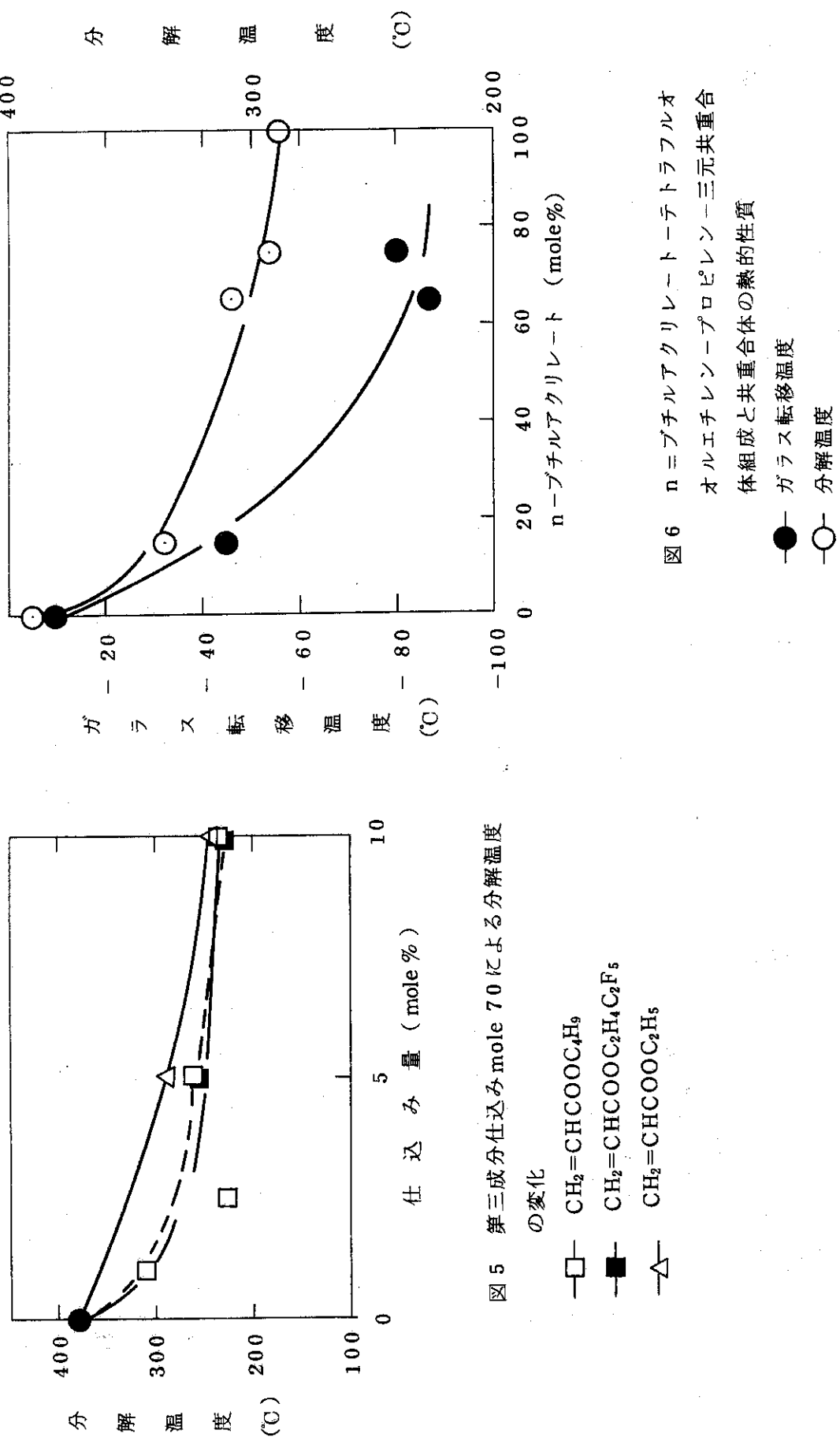


図4 第3成分の仕込みモル%によるガラス転移温度の変化

- $\text{CH}_2=\text{CHCOOC}_4\text{H}_9$
- $\text{CH}_2=\text{CHCOOC}_2\text{H}_4\text{C}_2\text{F}_5$
- △-  $\text{CH}_2=\text{CHCOOC}_2\text{H}_5$



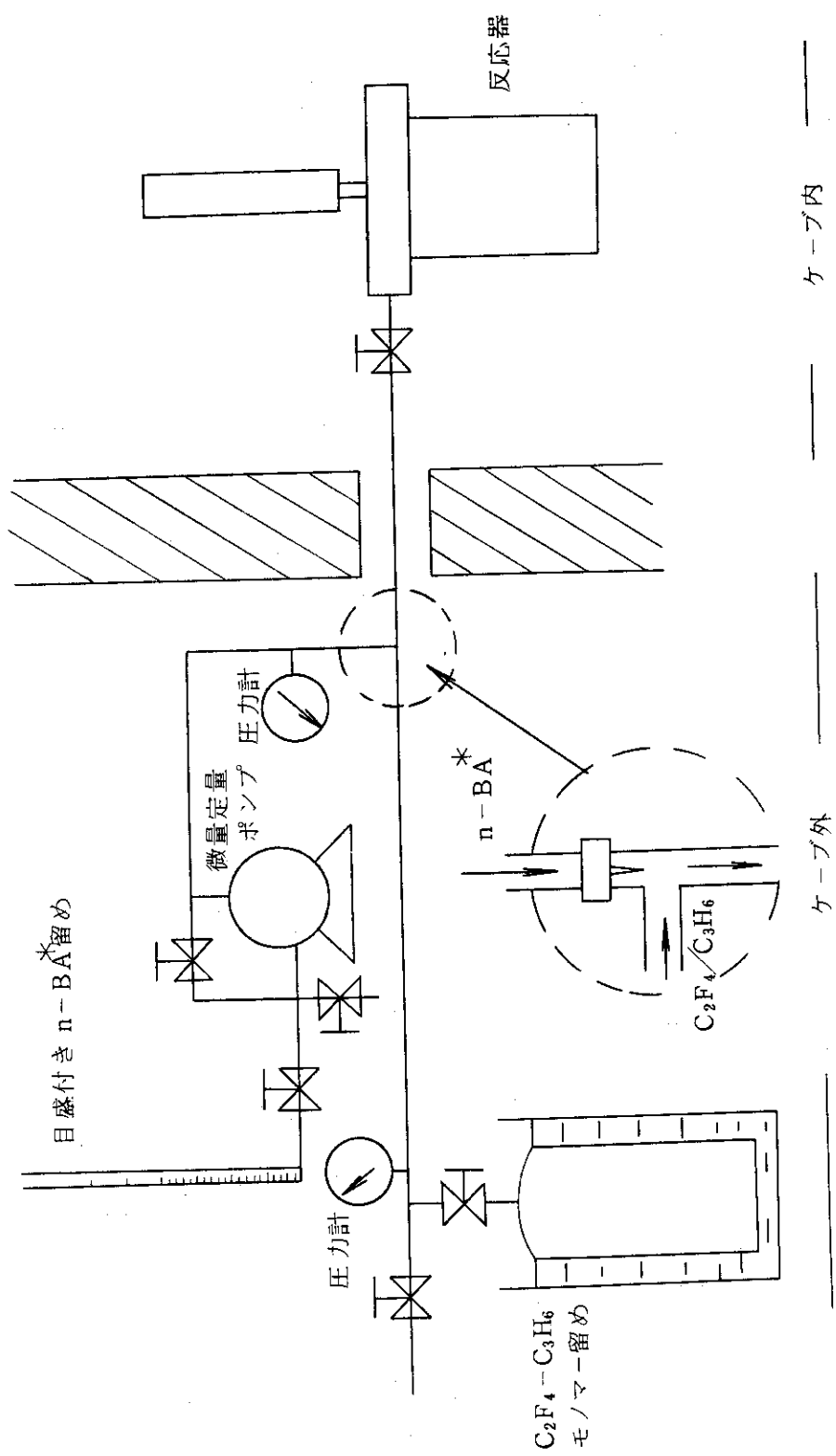


図 7 三元系乳化共重合反応装置  
\* n-ブチルアクリレート